

Nouvelle lumière sur les 2 échelles d'énergie observées par diffusion Raman dans les cuprates



Alain Sacuto
Professeur



Maximilien Cazayous
Maître de Conférences



Yann Gallais
Maître de Conférences



Marie-Aude
Méasson
Chargée de
recherche
CNRS

Sébastien
BLANC



Collaborateurs



Sébastien Blanc
Etudiant en thèse



Ludivine Chauvière
Etudiante en thèse



Pauline Rovillain
Etudiante en thèse

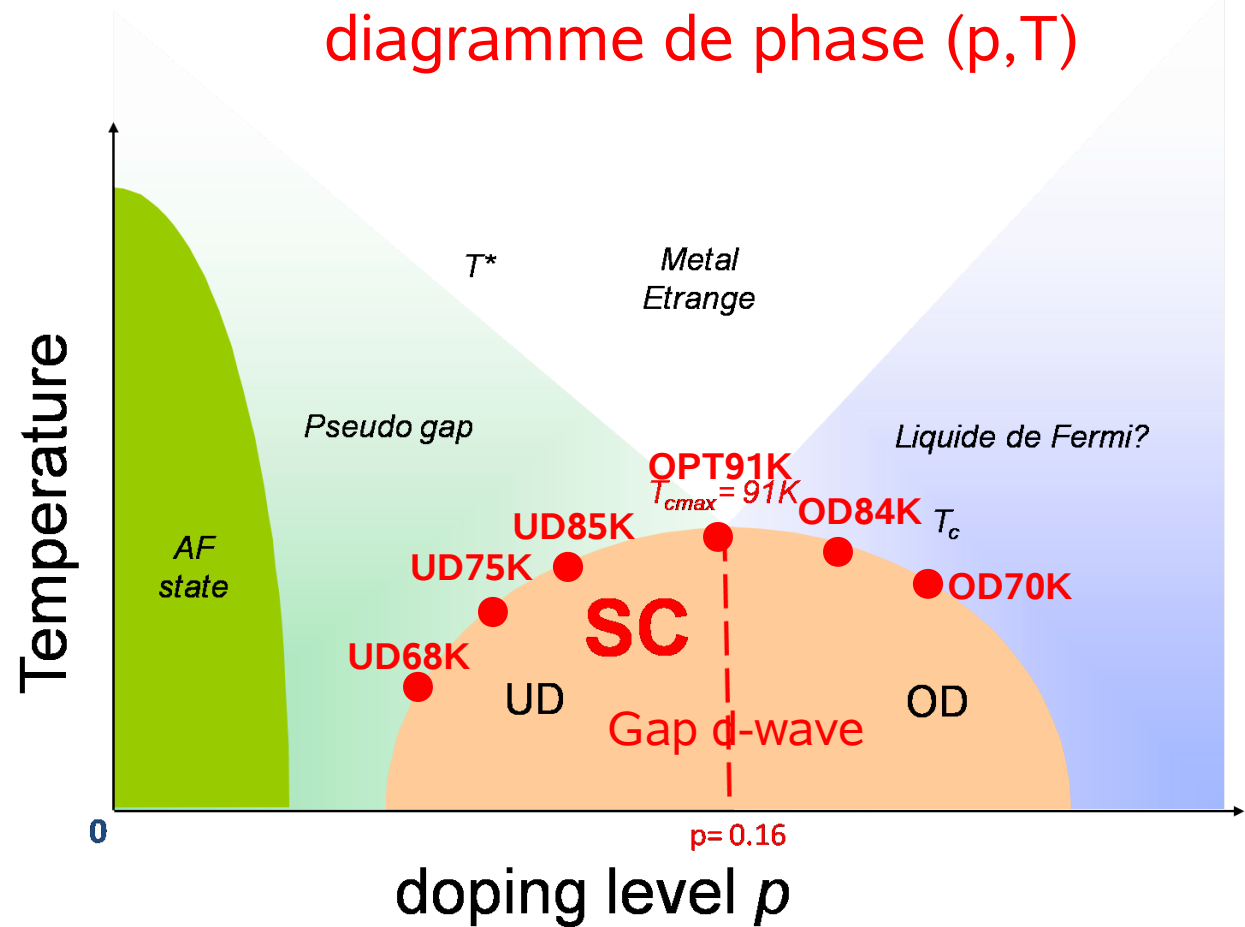
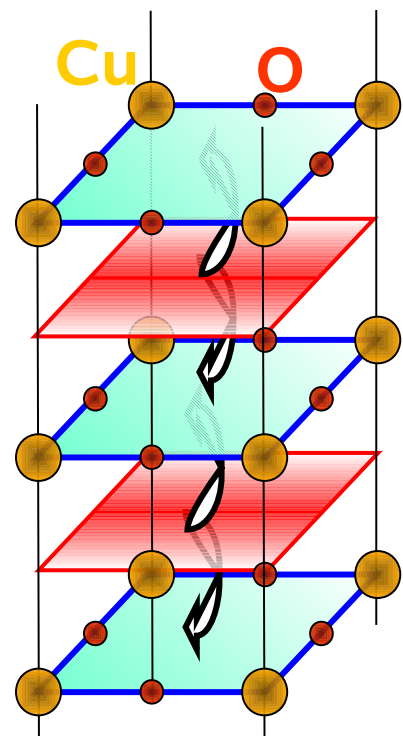
Cuprates – Généralités

Famille nombreuse: $\text{YBa}_2\text{Cu}_3\text{O}_{6x}$, $\text{Bi}_2\text{Sr}_2\text{Ca}_{n1}\text{Cu}_n\text{O}_{2n+4x}$ ($n = 1, 2$ ou 3), $\text{La}_{2x}\text{Sr}_x\text{CuO}_4$, etc....

Empilements de plans CuO_2

Plans réservoirs de charge: Insertions, Substitutions, variation du nombre de charges (trou ou e-) dans les plans CuO_2 = DOPAGE p

diagramme de phase (p,T)

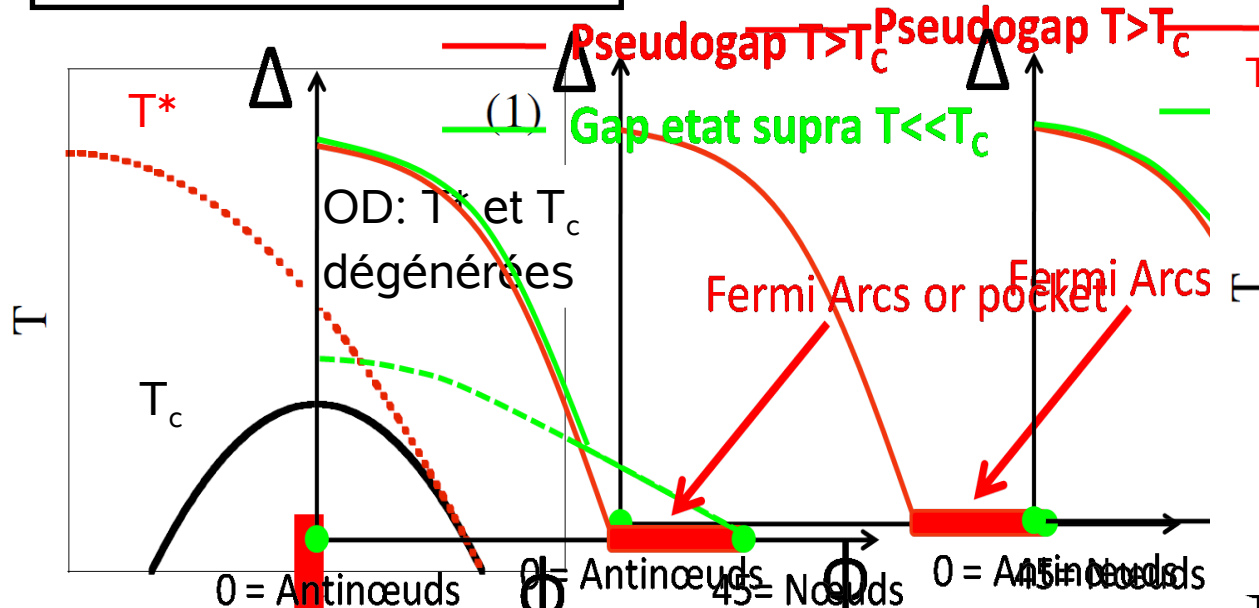


Lien entre Pseudogap et Supraconductivité ?

:

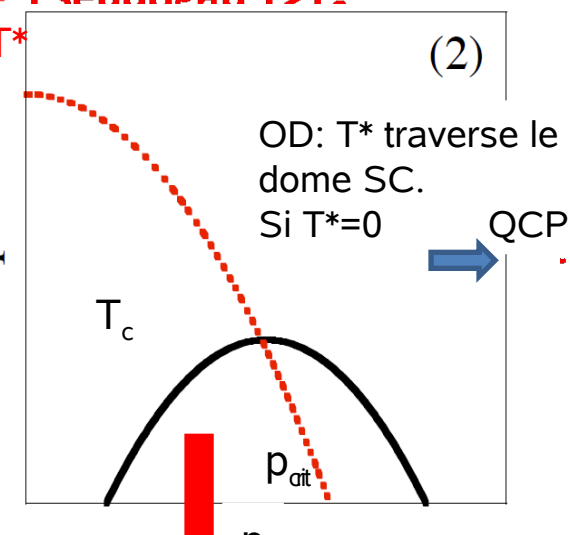
Pseudogap = état précurseur de la supraconductivité

Pseudogap = état en compétition avec la supraconductivité



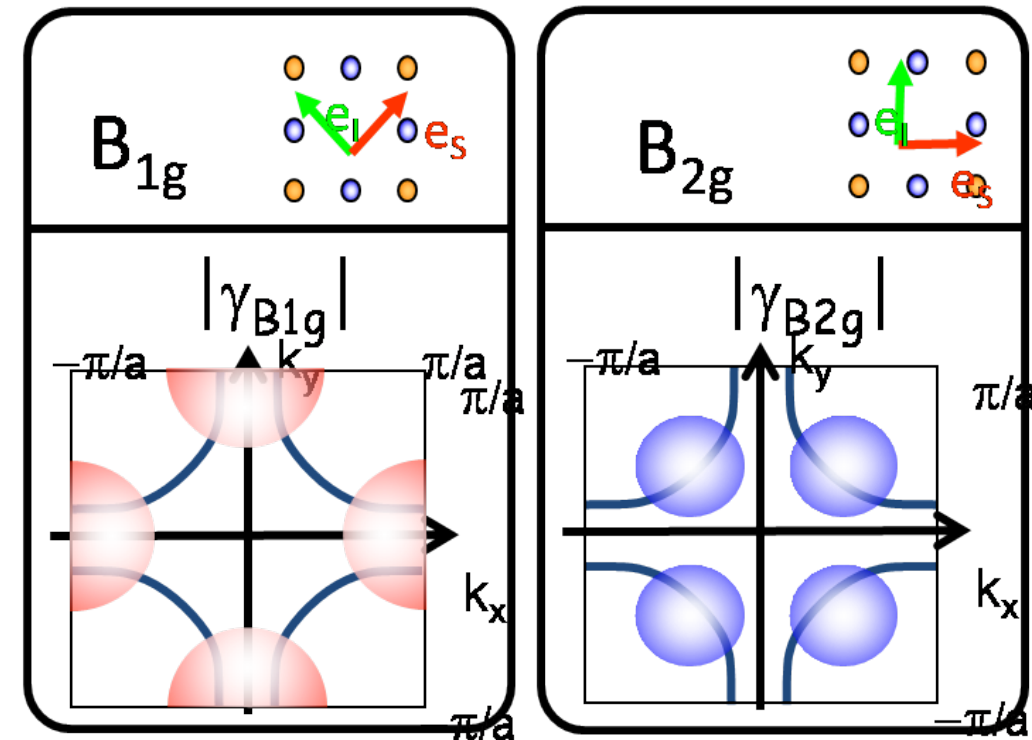
1 seul gap dans l'état supra

2 gaps dans l'état supra pour $p < p_{\text{crit}}$



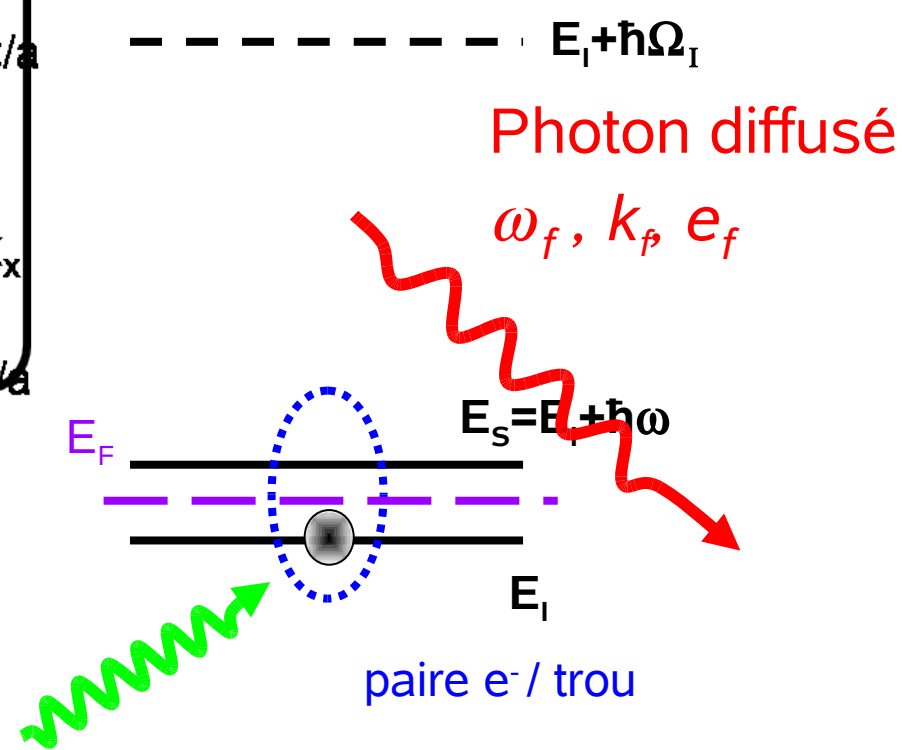
La diffusion Raman électronique:

Etat métallique



Photon incident
 ω_i, k_p, e_i

$q = \text{moment transferé au système} = k_s - k_i \ll 2\pi/a, k_F$



Résolution: 1meV

La diffusion Raman électronique:

Etat supra

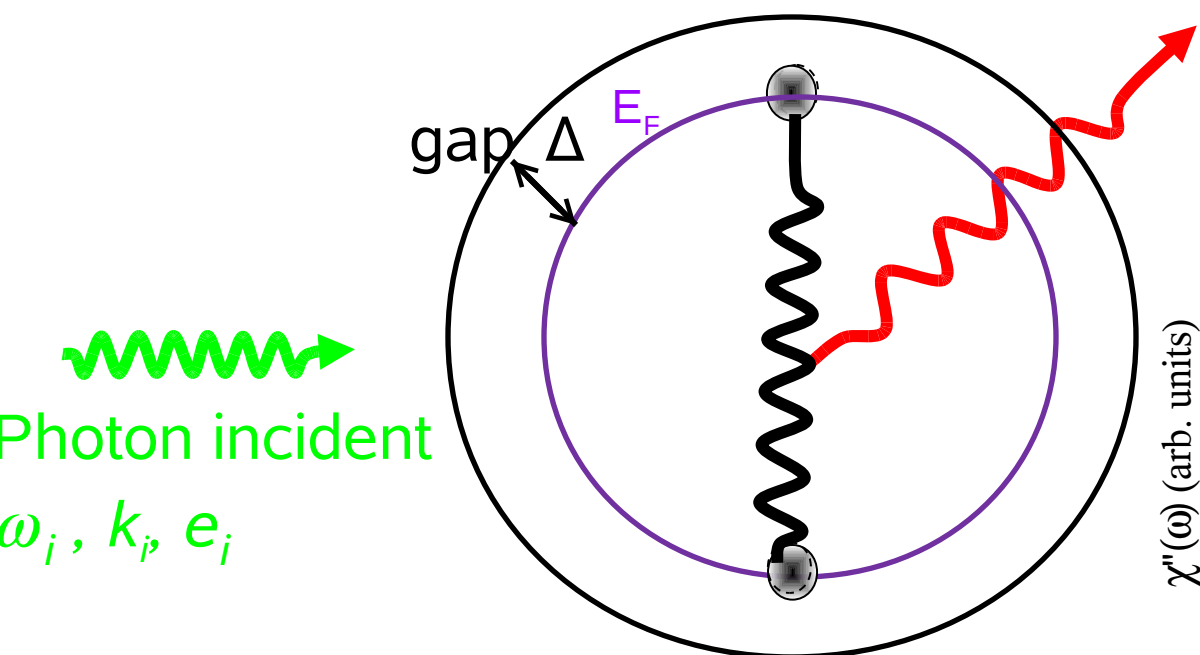
Photon diffusé

ω_f, k_f, e_f

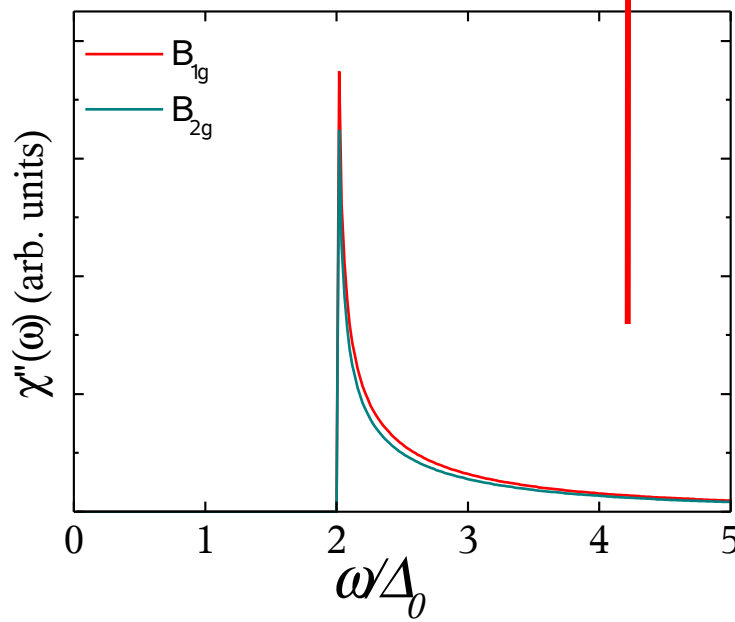
Energie minimale transférée

$$\omega_f - \omega_i = 2 \cdot \Delta$$

Gap de symétrie s

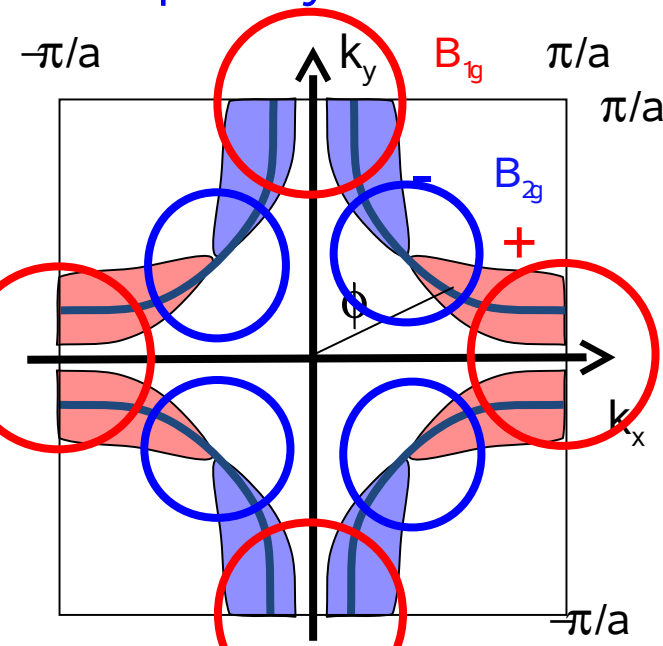


Photon incident
 ω_i, k_i, e_i



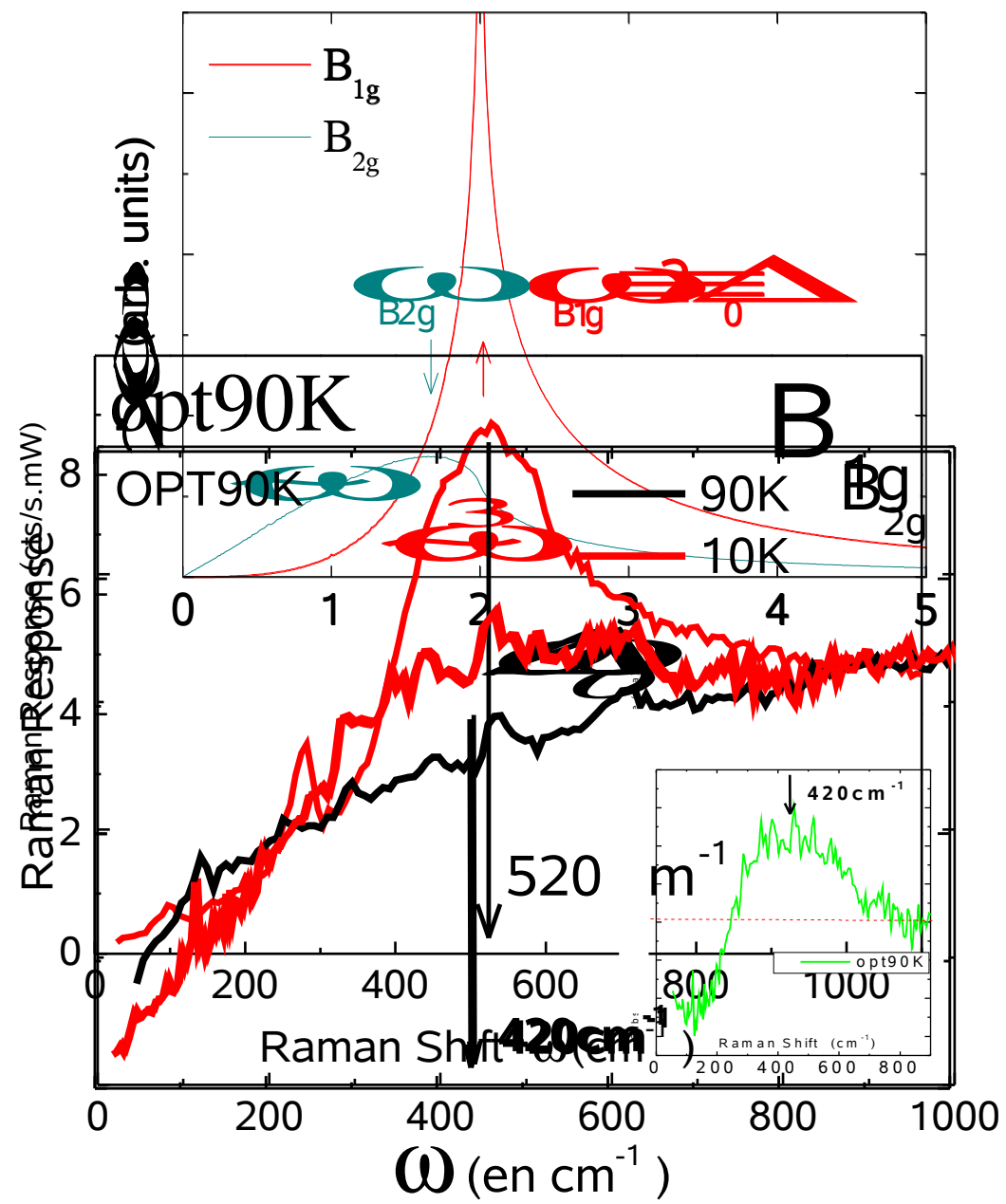
La diffusion Raman électronique: état supra

Gap de symétrie d

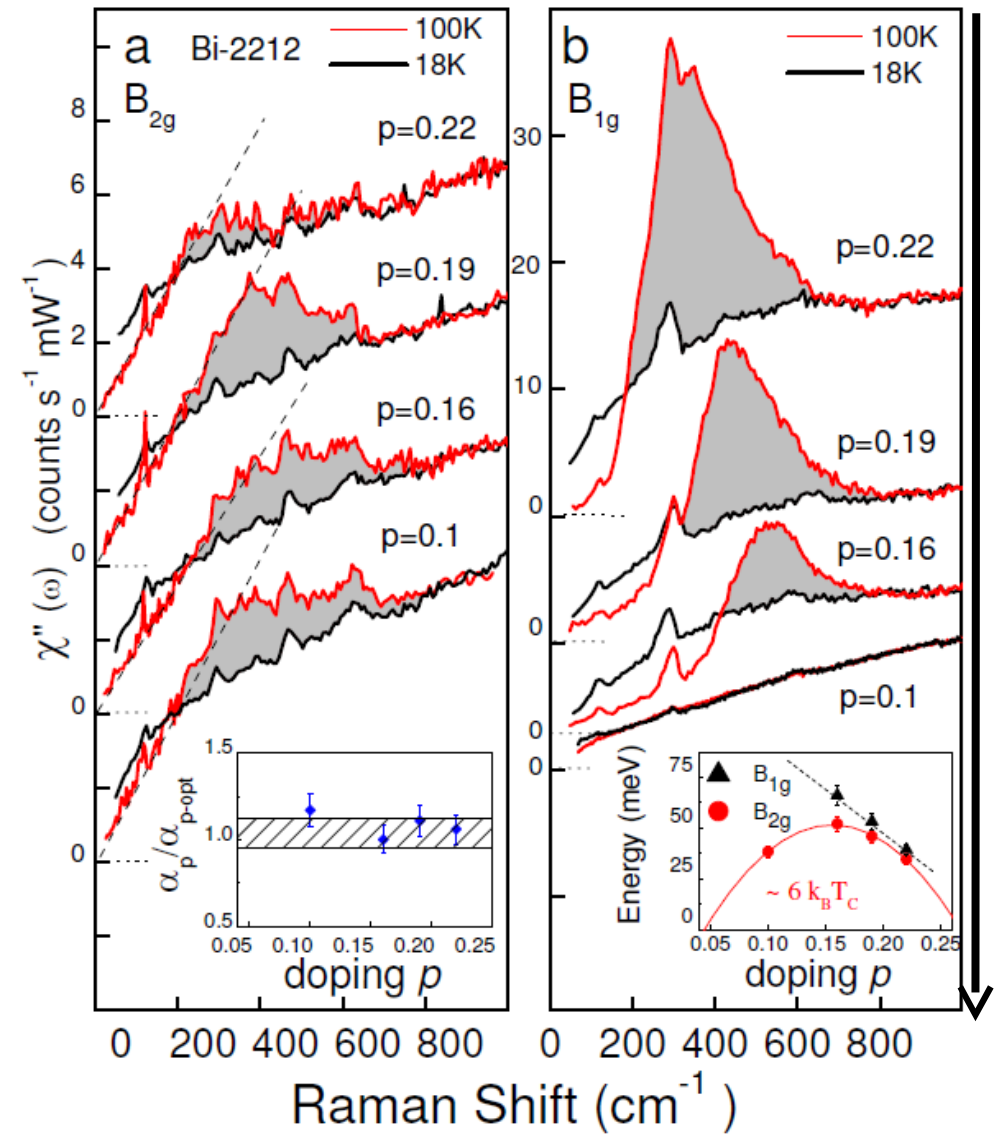


Régions Anti-nodales

Régions Nodales



Etude des aires en fonction du dopage

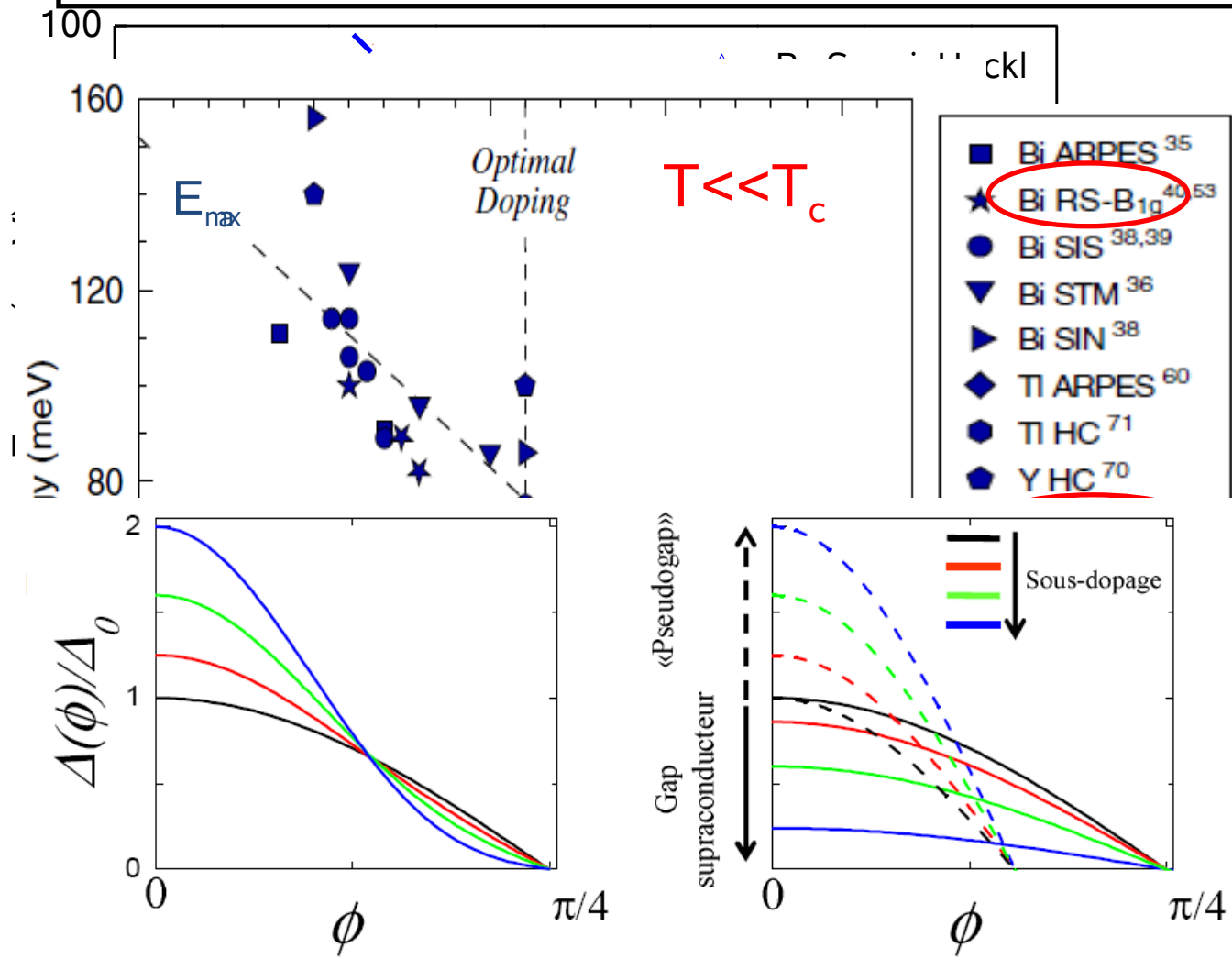


Diminution du nombre de paires de Cooper **cohérentes** aux antinœuds quand on sous-dope!

Perte de cohérence aux AN détectée en ARPES et STM en sous dopant

p

2 échelles d'énergie dans l'état supraconducteur



Echelle E_{\max} aux régions antinodales.

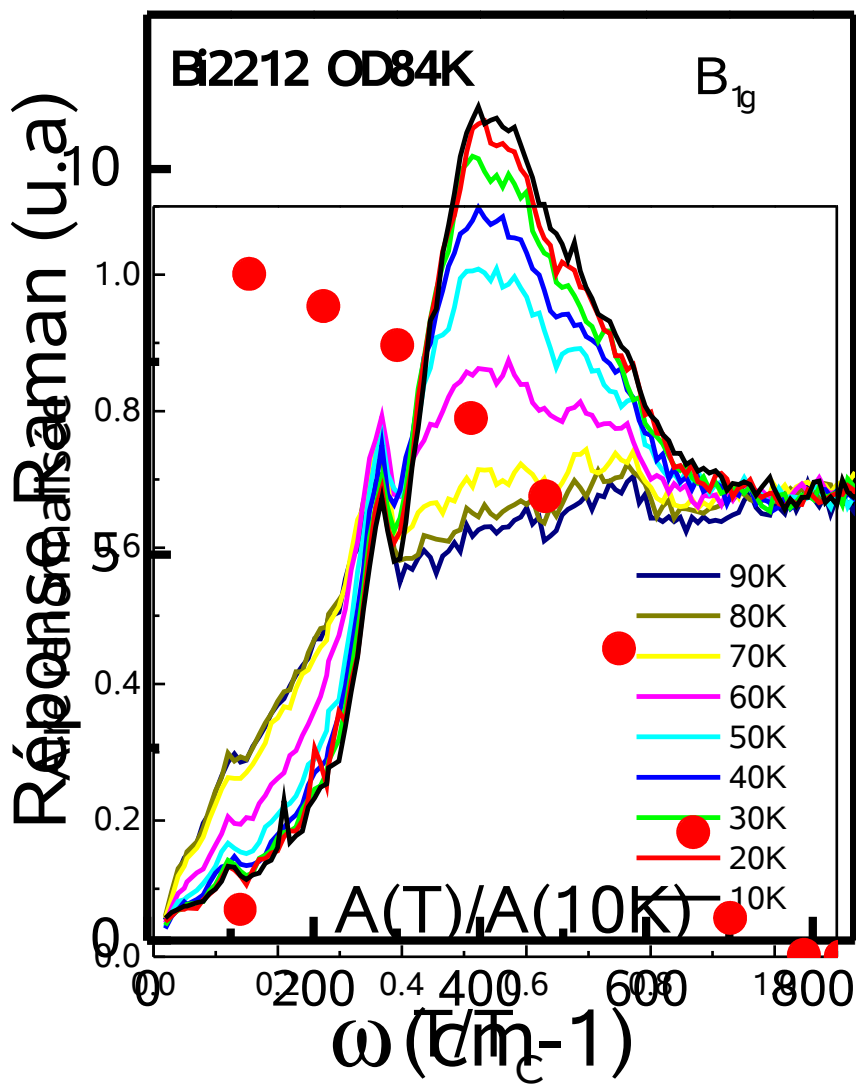
Echelle E_{sc} aux régions nodales.

Questions:
Comprendre les 2 échelles vues en Raman

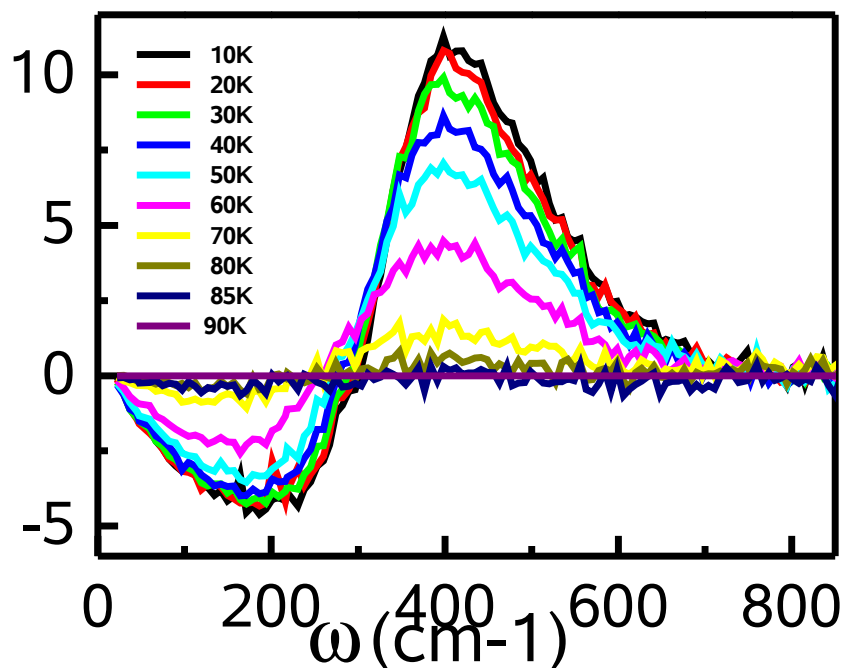
2 gaps:
 E_{\max} associée au PG et E_{sc} associée à la supra?????????

E_{sc} : Raman- $B_{2g} \neq$ transport , sensibles aux nœuds.

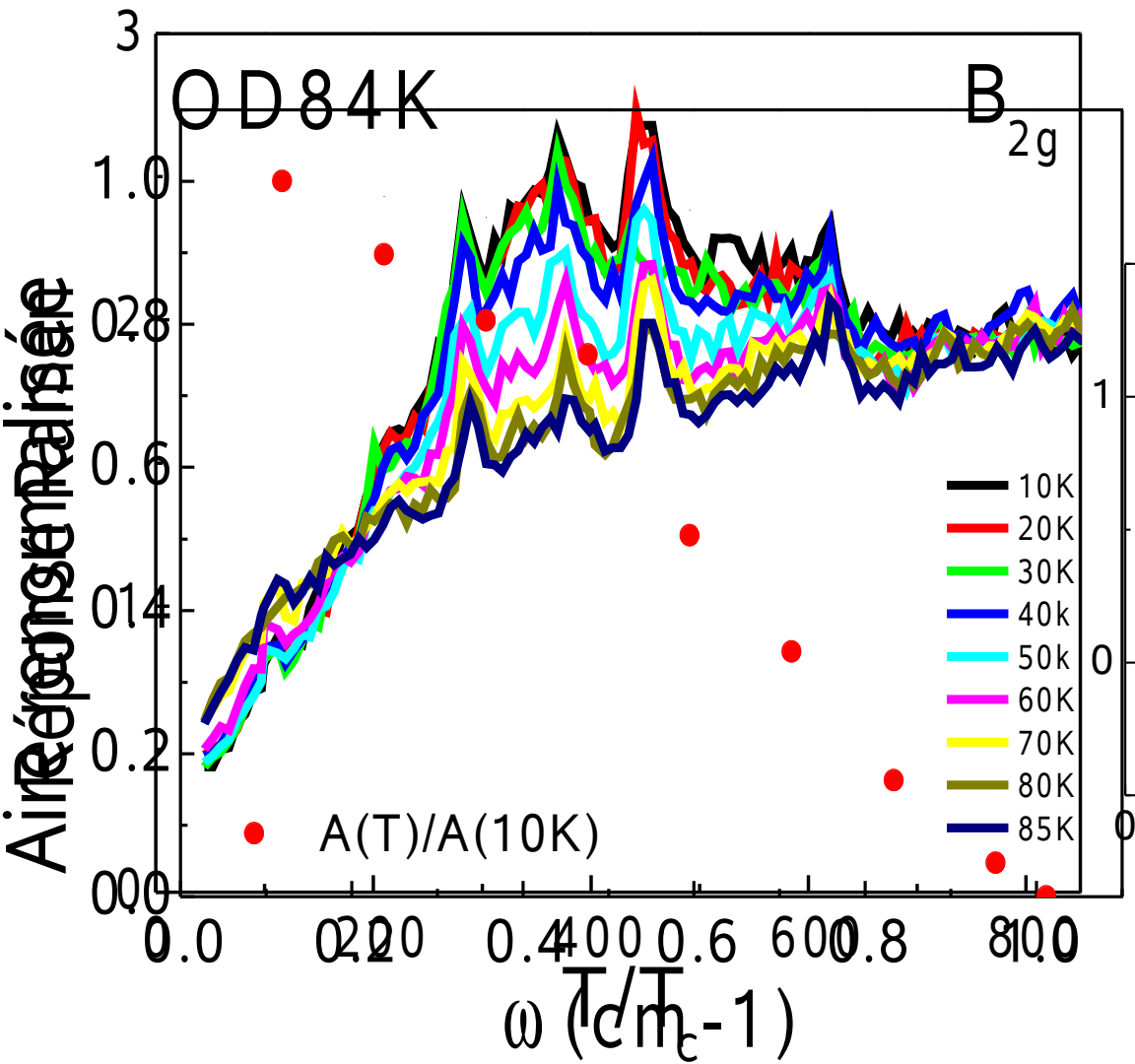
Etude en fonction de T des aires:



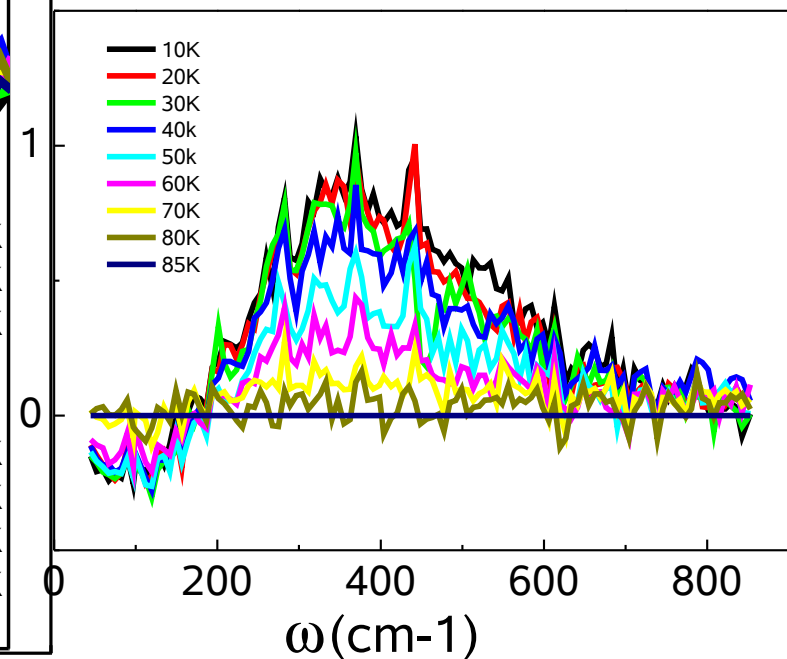
Soustraction:



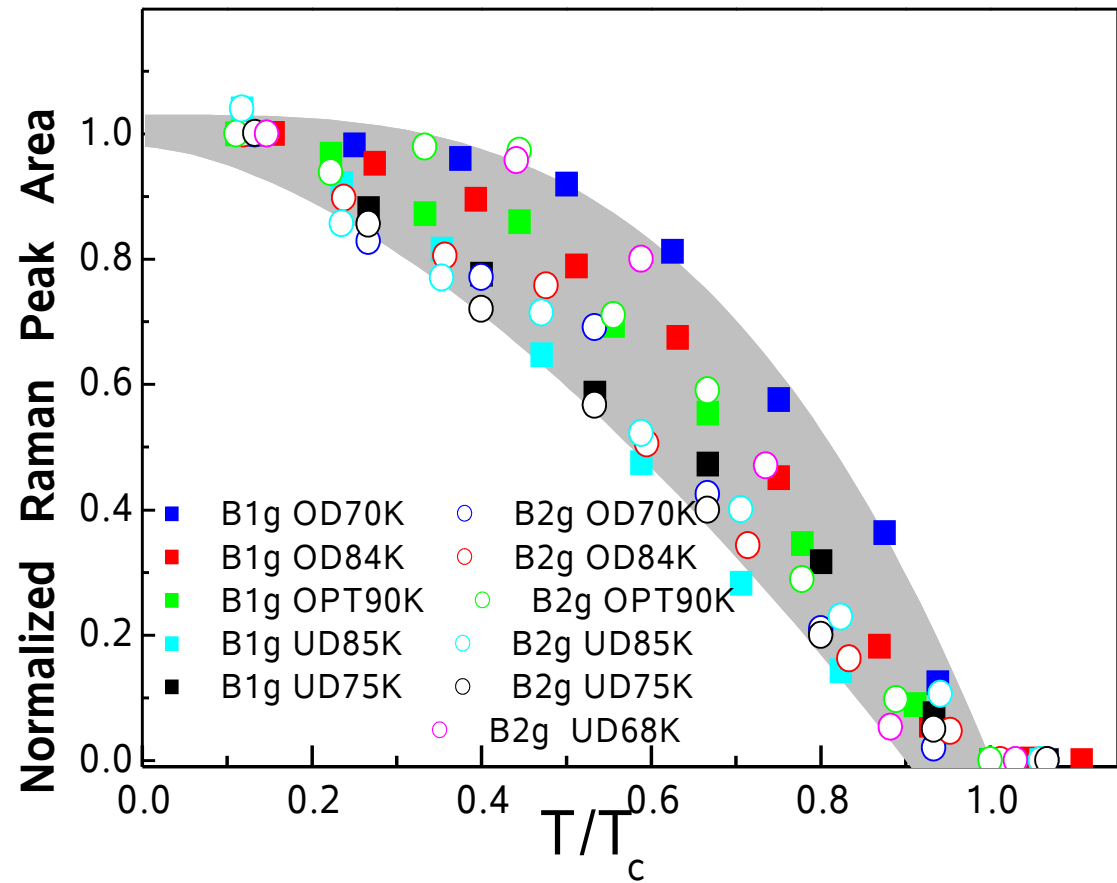
Etude en fonction de T des aires:



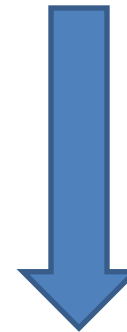
Soustraction:



Etude en fonction de T/T_c des aires:

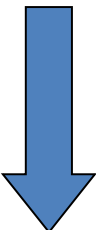


Pics dans l'état supra

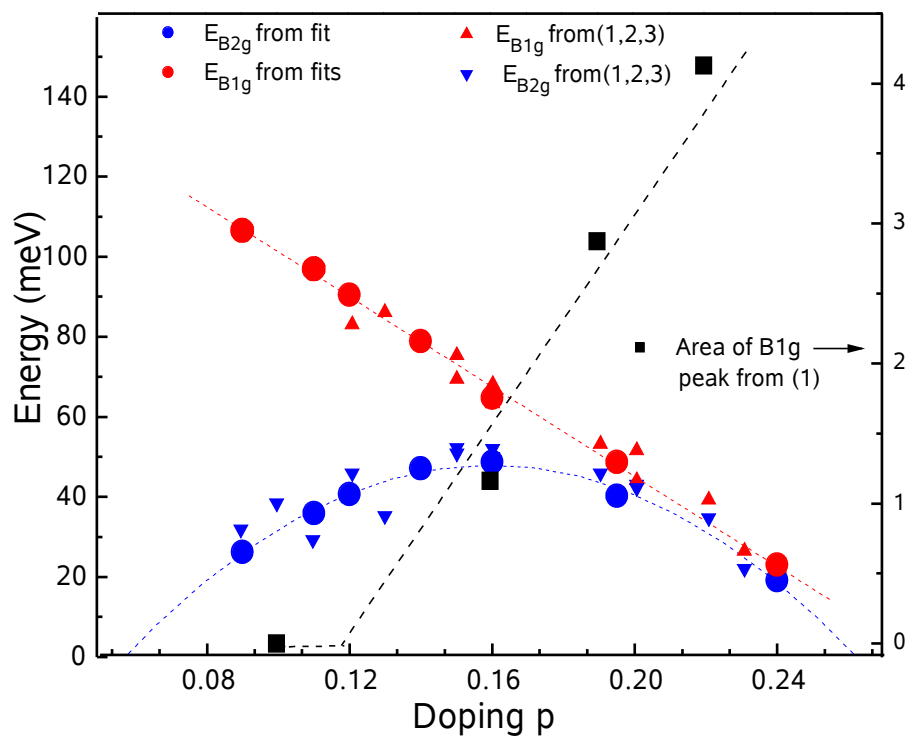


Existence de paires cohérentes

B1g et B2g supra



pourquoi 2 echelles d'énergie ??

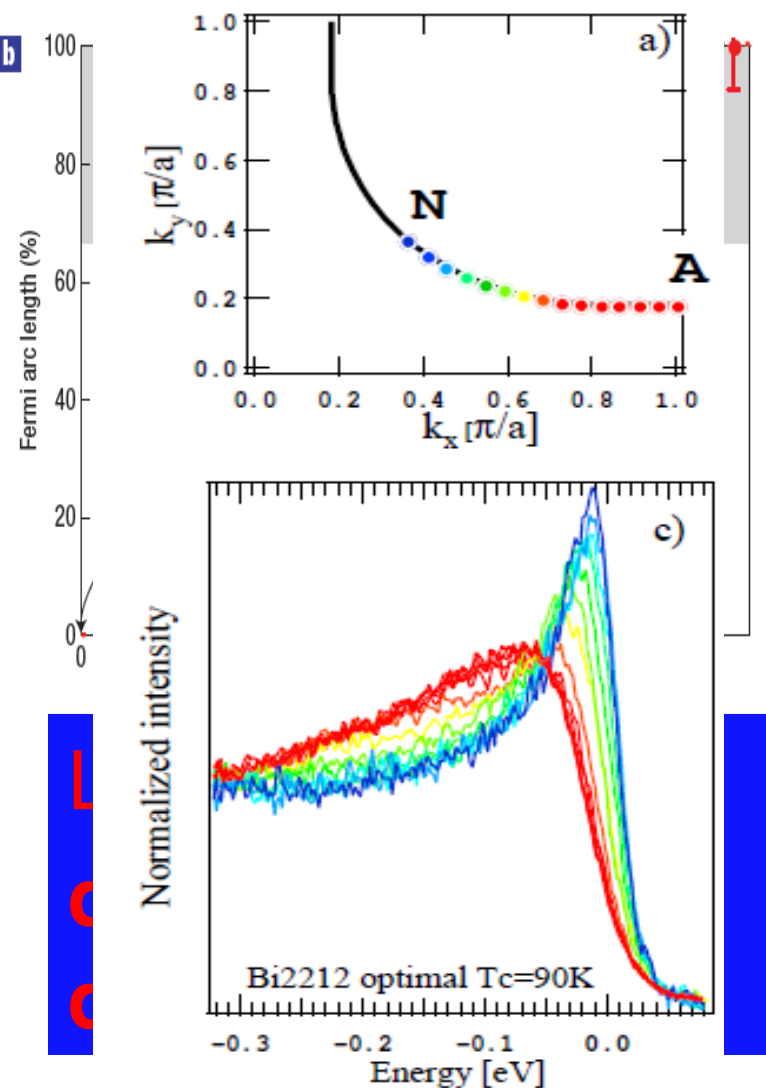
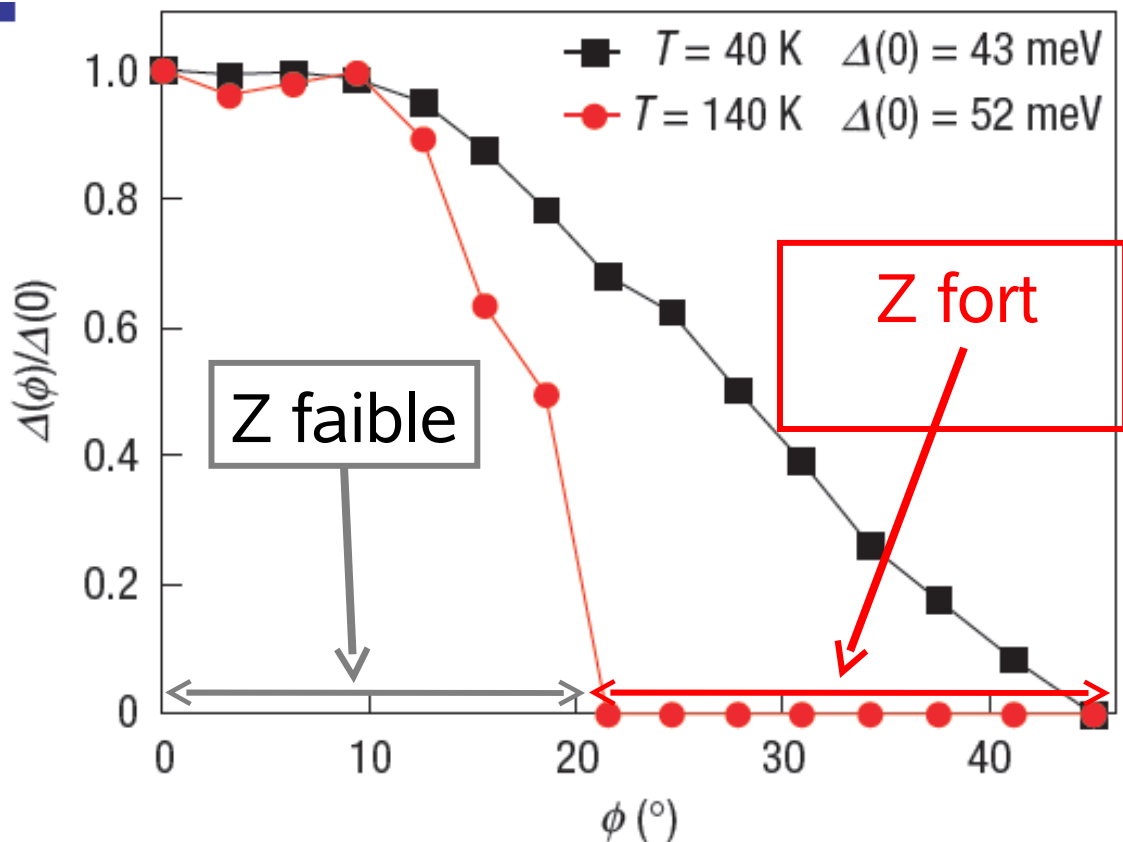


Objectif:
Simulations avec 1
gap supra pour
rendre compte des
faits experimentaux

BCS + interactions:

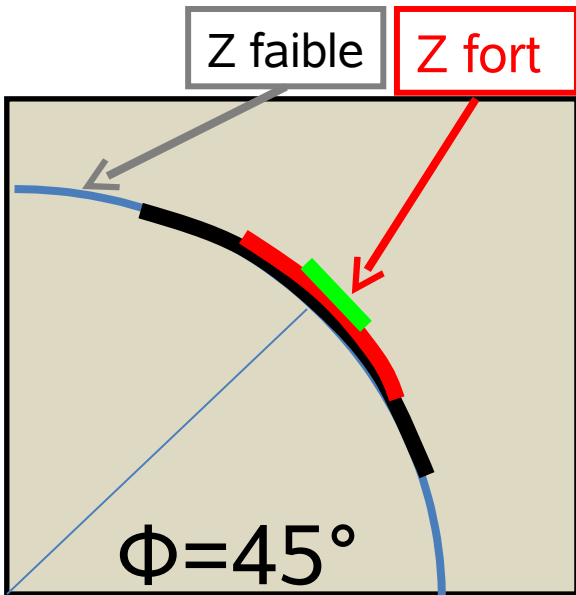
Prendre en compte l'anisotropie du poids spectral des QP:Z

Etat normal



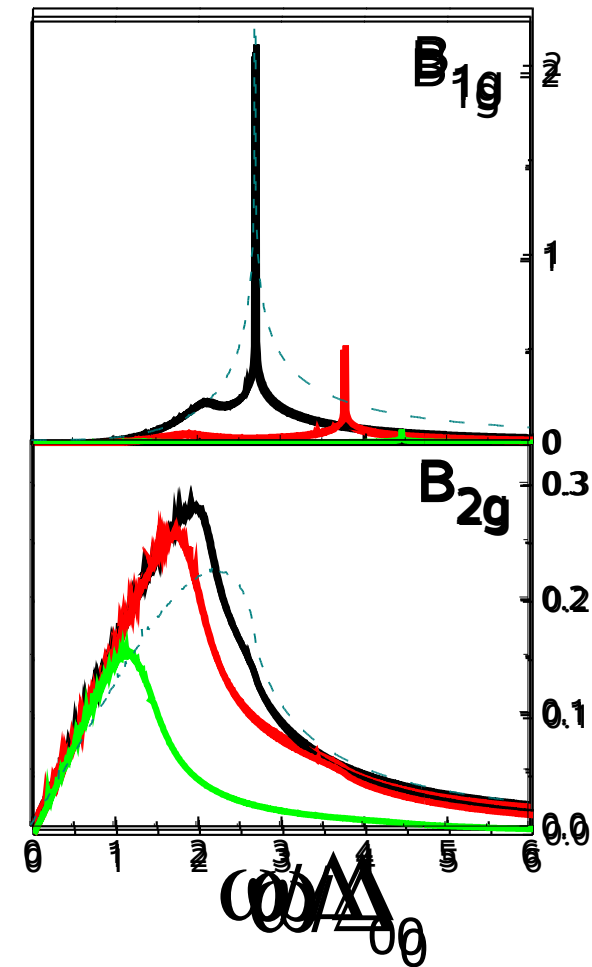
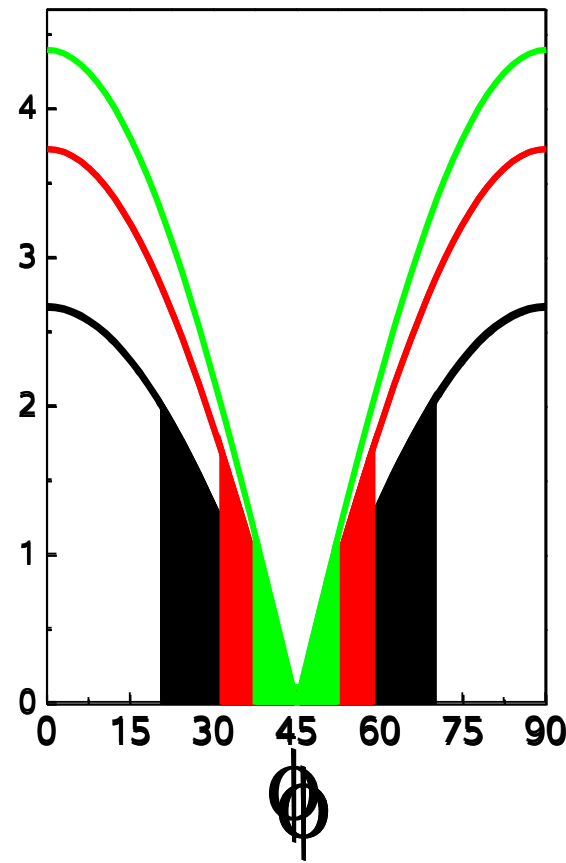
2 échelles en Raman:
simulation: 1 gap supra et Z anisotrope

Surface de Fermi:

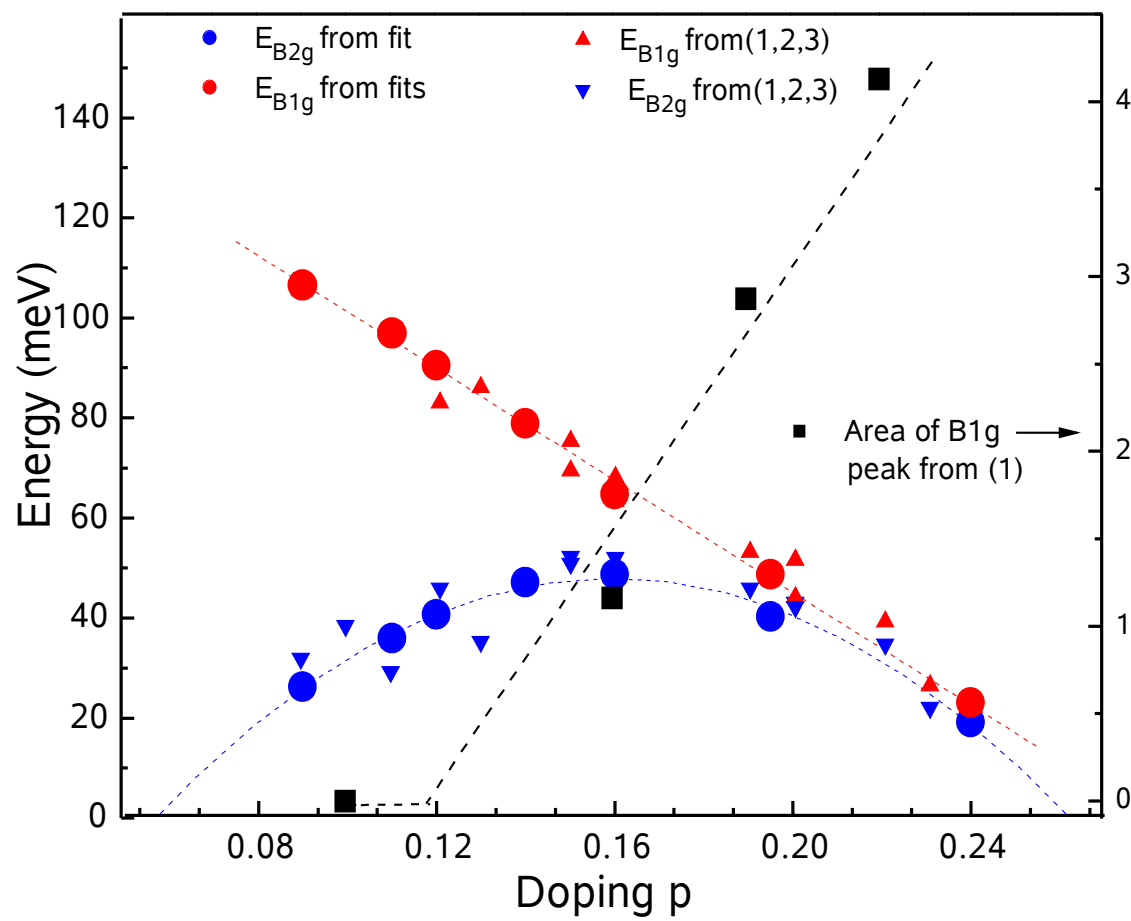


$p=0.16$ $p=0.12$

$p=0.09$

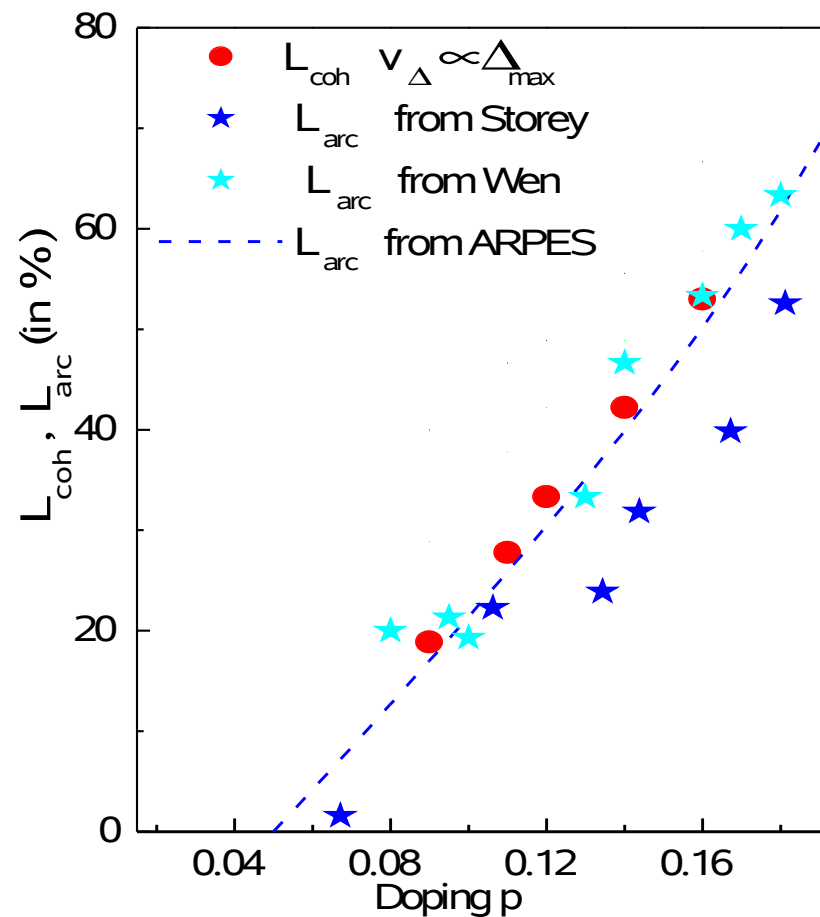
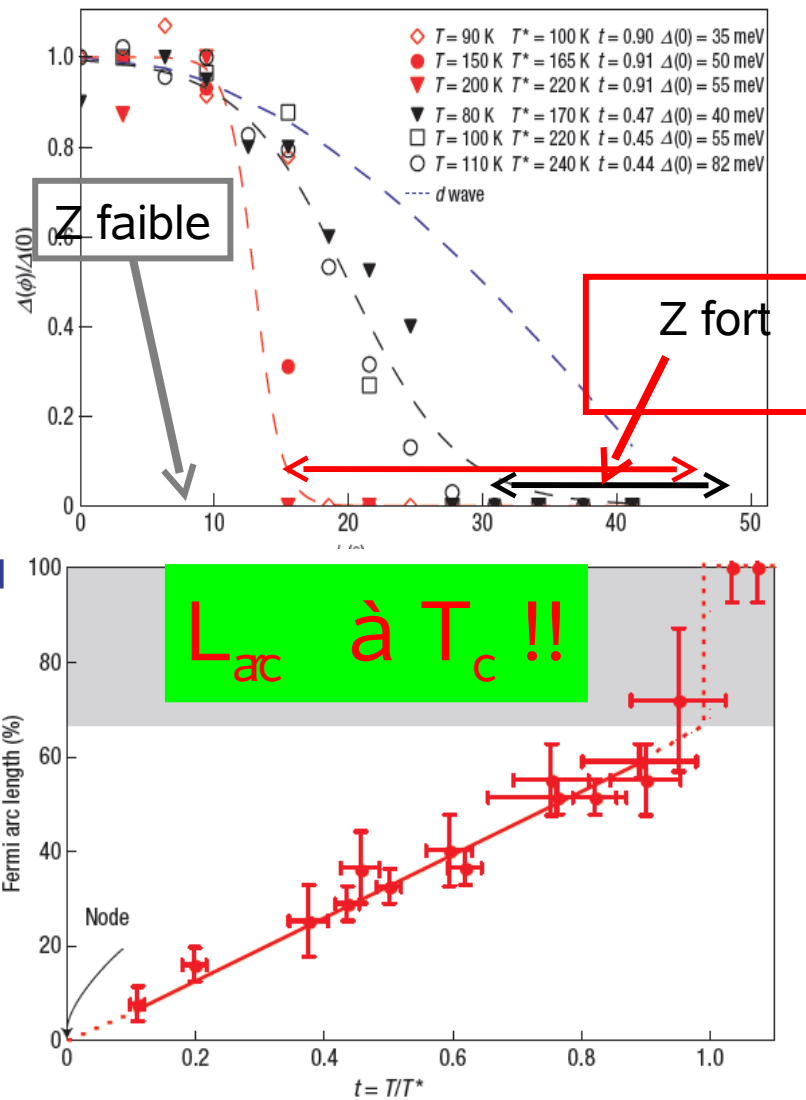


2 échelles en Raman: simulation: 1 gap supra et Z anisotrope



Comparaison avec d'autres expériences

ARPES: $L_{ac} = 0,65 \cdot T/T^*$, chaleur spécifique k_{ac}



Conclusion

Les 2 échelles d'énergie vues en Raman  paires cohérentes

avec 1 gap supra et une forte anisotropie du QPSW

Energie du B1g=énergie de liaison aux AN

Energie du B2g= energie de liaison à la fin des arcs

Egalement:

Autres formes de gap, comparaisons STM, théorie BEC-BCS...

Conclusion

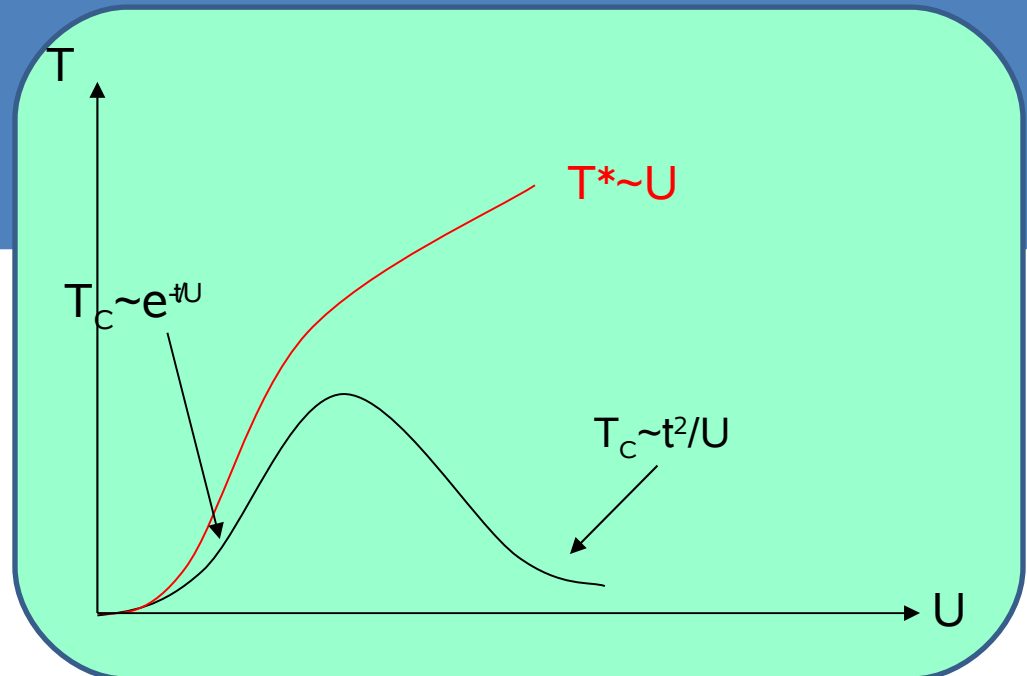
Les 2 échelles d'énergie vues en Raman → paires cohérentes

avec 1 gap supra et une forte anisotropie du QPSW

Energie du B1g=énergie de liaison

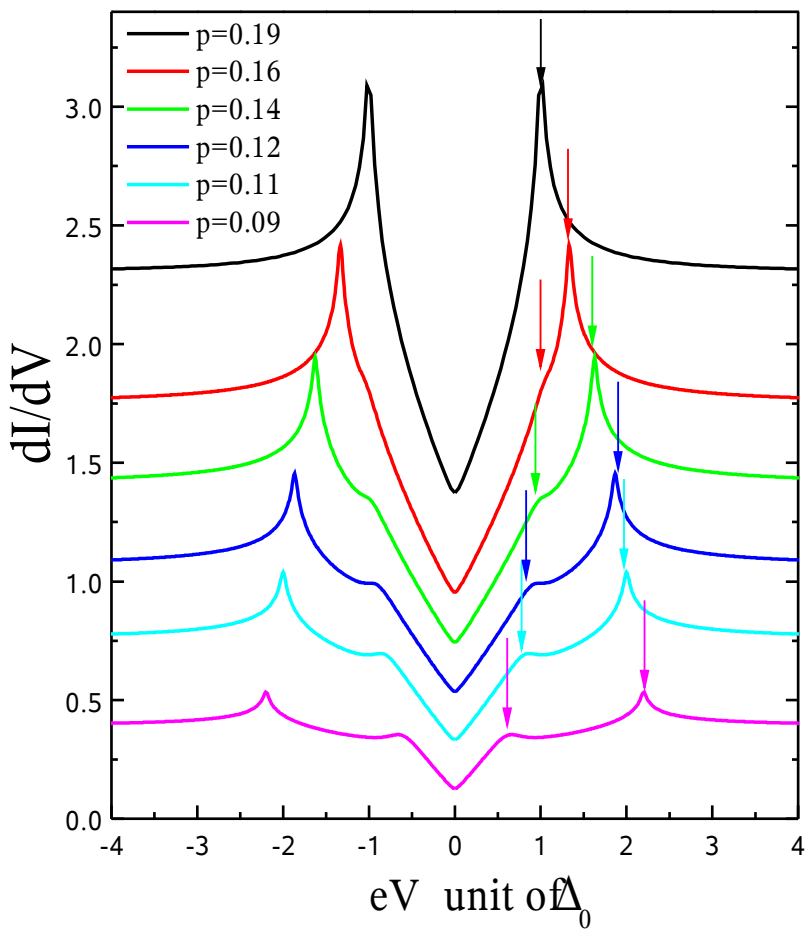
Energie du B2g= energie de liaison à la fin des arcs

BEC-BCS crossover??

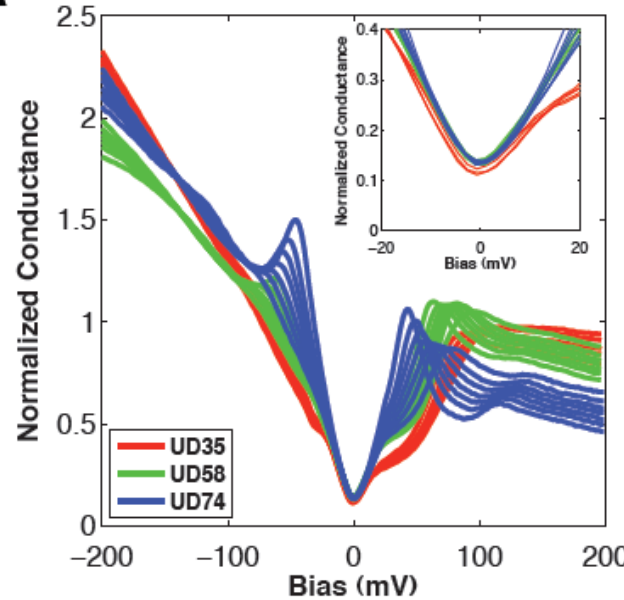


Comparaison avec d'autres expériences

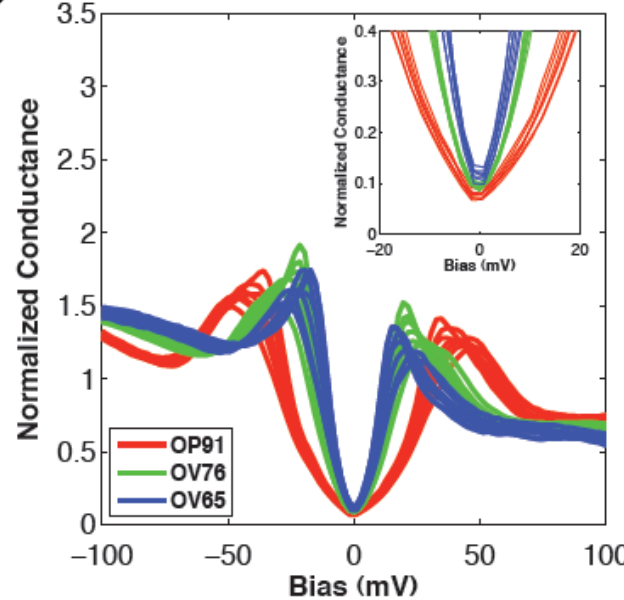
STM



A

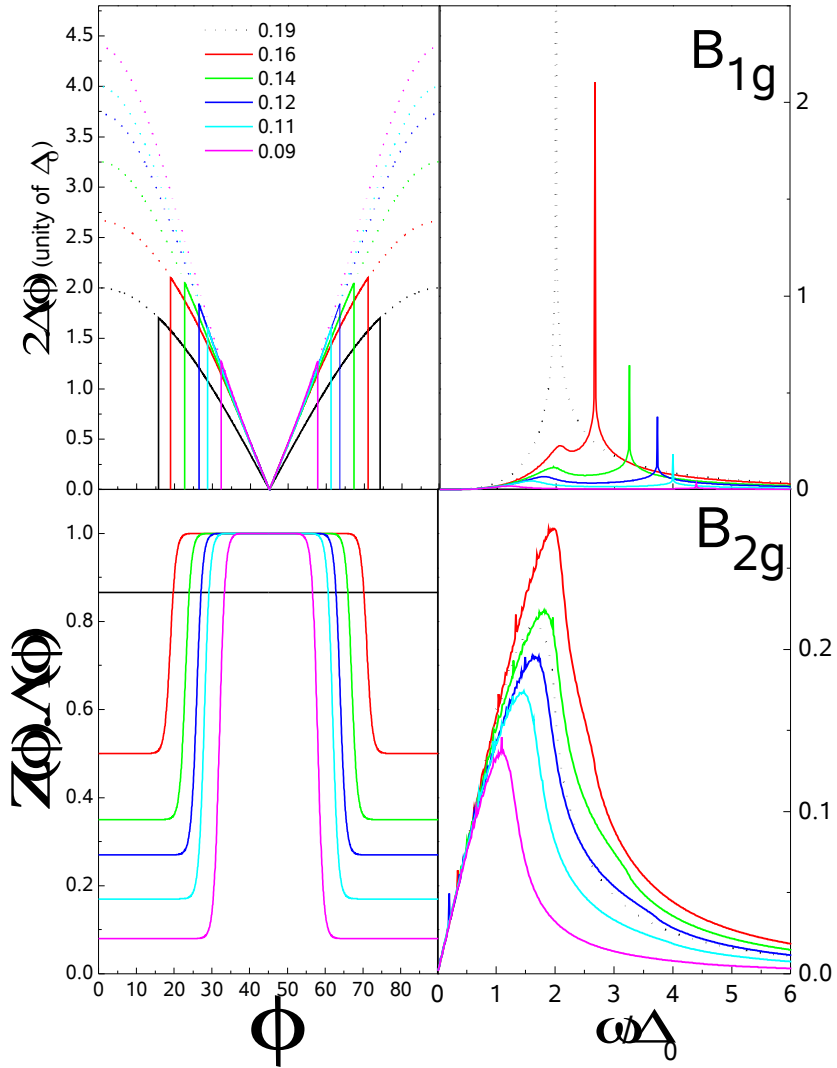


C



2 échelles d'énergie avec un gap d-wave

$$\Delta(\Phi) = \Delta_{max} \cdot (B \cdot \cos(2\phi) - (1 - B) \cos(6\phi))$$



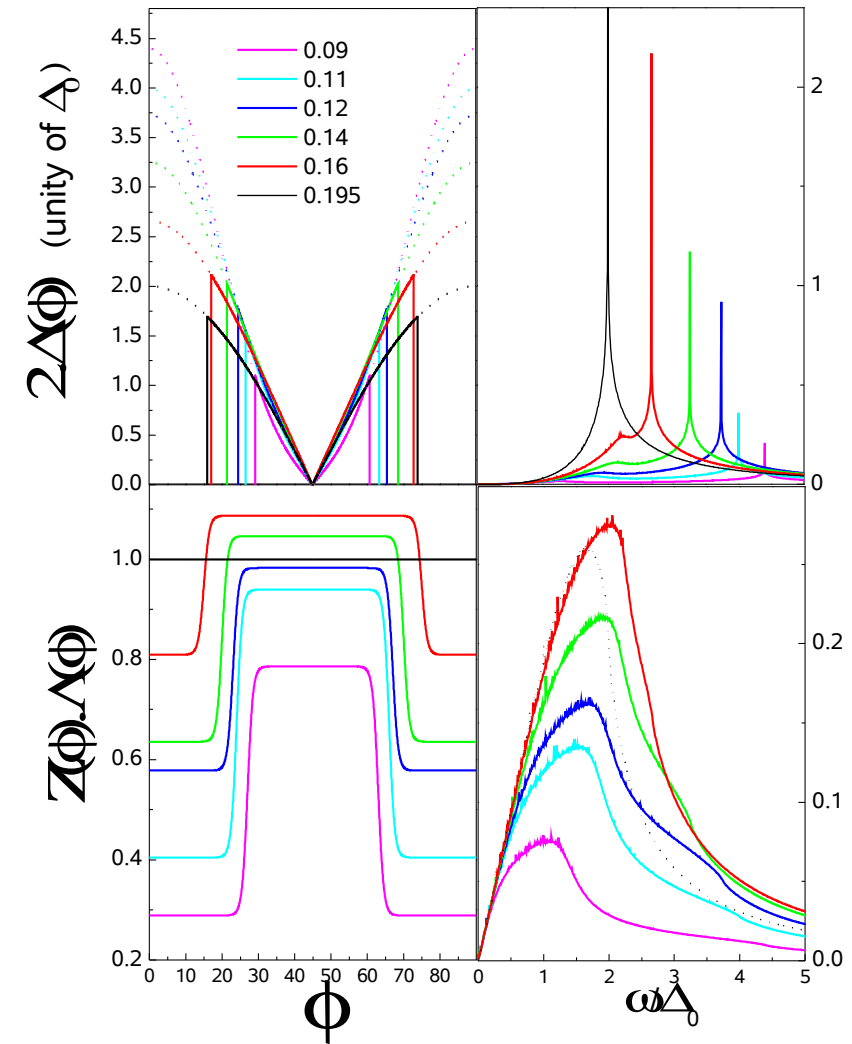
Pente du gap constante avec p

Énergie B_{1g}
Énergie B_{2g}
Aire B_{1g}

Diagram showing red arrows pointing from the text labels to the corresponding features in the right panel of the figure.

2 échelles d'énergie avec un gap d-wave

$$\Delta(\Phi) = \Delta_{max} \cdot (B \cdot \cos(2\phi) - (1 - B) \cos(6\phi))$$



Pente du gap suit T_c

Énergie B_{1g}

Énergie B_{2g}

Aire B_{1g}

p

p

p